

# 2.5kW CW CO<sub>2</sub> 激光束远场光强分布 及其方向性的测量

杨逸根 唐士清 查鸿逵 王润文

(中国科学院上海光机所, 201800)

**摘要:** 本文给出探针扫描法测量 2.5 kW CO<sub>2</sub> 激光束一维远场分布及发散角的实验结果; 分析确定了分辨率、误差与结构参数间的关系。

**关键词:** 探针扫描

## Measurement of 2.5kW CW CO<sub>2</sub> laser beam's far-field intensity distribution and its divergence

Yang Yigen, Tang Shiqing, Cha Hongkui, Wang Runwen

(Shanghai Institute of Optics and Fine Mechanics, Academia Sinica, Shanghai)

**Abstract:** The measurement of 2.5 kW CO<sub>2</sub> laser beam's far-field intensity distribution in one dimension and its divergence by scanning the beam across a wire probe are described, and the dependence of the resolution and the error of the system on the structure parameters are analysed.

**Key words:** scanning by wire probe

不能直接用探测器扫描来测量 kW 级 CWCO<sub>2</sub> 激光束的光场分布, 解决这一问题的关键是要将激光功率进行不失真的衰减, 为此已发展了多种测量方法<sup>[1~4]</sup>。我们选用了探针扫描法测出了 2.5 kW CWCO<sub>2</sub> 激光远场分布, 表明这种方法结构简单, 测量范围较大。本文将对实验装置与结果、设计参数与分辨率、误差等方面分别加以描述。

### 一、实验原理及实验装置

当有一圆柱体垂直放置在宽度为  $\omega$  的光束中时, 光束将在很大范围内发散开来; 当圆柱体如图 1 垂直切割光束时, 柱体在位置 A 时, “光线”1 在某一角度的反射光将反射到探测器上, 当柱体移到位置 A' 时, “光线”2 的另一角度的光将反射到探测器上; 如此下去就能实现对激光束的扫描。用一转速为 3000 rpm ( $f=50$  Hz) 的同步电动机带动探针的转动, 而探针直径做得很小, 如  $\phi=2$  mm, 这样探针和探测器上实际接收到的激光功率便很小, 从而起到衰减

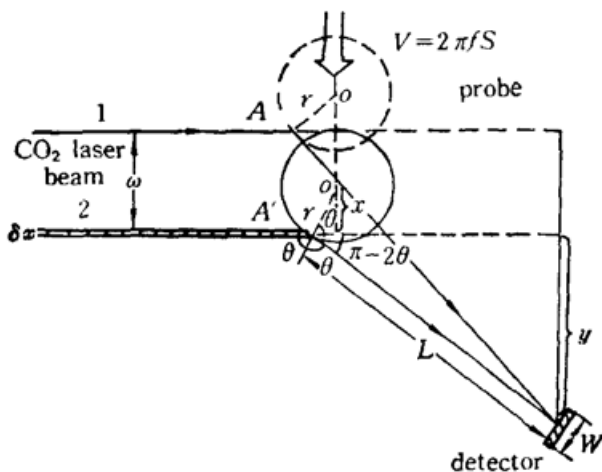


Fig. 1 Schematic diagram of the experimental principle

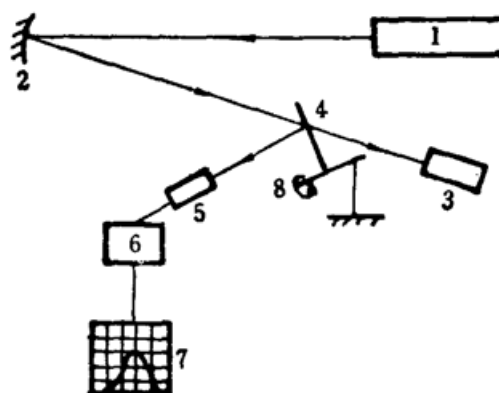


Fig. 2 Schematic diagram of the experimental setup

1—CO<sub>2</sub> laser; 2—focusing mirror; 3—laser stop; 4—wire probe; 5—detector; 6—amplifier; 7—oscilloscope; 8—motor

作用，实验装置如图2。下面对此装置进行一些分析。

### 1. 分辨本领

如图1，接收宽度为W的探测器对应着光柱宽度为 $\delta x$ 的“光线”。假设 $L \gg \omega$ ,  $L \gg r$ ,  $L \gg W$ , 则 $\delta x = Wr/(2L)\cos\theta$ 。若探测器另一维方向的长度为B, 则探测器接收到的功率正比于 $B\delta x$ , 因而分辨本领是由 $\delta x$ 决定的。就我们的条件 $W=1\text{ mm}$ , 探针半径 $r=1\text{ mm}$ ,  $L=100\text{ mm}$ ,  $\theta=30^\circ$ , 则 $\delta x \approx 0.004\text{ mm}$ , 可见分辨本领可达 $10^{-2}\text{ mm}$ 量级。

### 2. 对探测器的要求

探针经过直径为 $\omega$ 的光斑所需的时间为 $\omega/(2\pi fs)$ (s为电动机轴心与探针接收光斑处的距离)。当 $\omega=6\text{ mm}$ ,  $s=100\text{ mm}$ 时,  $\omega/(2\pi fs) \approx 0.2 \times 10^{-3}\text{ s}$ , 可见探测器的响应时间要求小于 $10^{-3}\text{ s}$ 。使用热释电探测器可满足此要求。

### 3. 衰减倍率与测量范围

激光束在探针上的功率密度为 $P/[(\omega/2)^2\pi]$ , 则探测器接收到的功率为 $\{P/[(\omega/2)^2\pi]\}(B\delta x)$ , 衰减倍率为 $\pi(\omega/2)^2/(B\delta x)$ 。当 $B=1\text{ mm}$ 时, 衰减倍率约为3000, 热释电探测器一般可承受 $1\text{ W/mm}^2$ 的光强。因而此装置可测量光强约 $3000\text{ W/mm}^2$ 的激光束。

### 4. 误差分析

(1) 当探针截面为标准圆时及探针截面为长短轴分别为 $a=1.1\text{ mm}$ ,  $b=1\text{ mm}$ 的椭圆时探测器上接收的功率分析如表1, 其中 $\theta_1$ 为探针进入光束过程中, 探测器刚接收到光信号时“光线”的入射角;  $\theta_2$ 为探针离开光束过程中, 探测器刚刚接收不到光信号时“光线”的入射角。可以计算出当探针截面为标准圆时, 由于探针切割光束时光线的入射角不同引起的误差为 $2(0.00432IB - 0.00416IB)/(0.00432IB + 0.00416IB) \times 100\% = 3.77\%$ , 而探针截面为椭圆时为 $5.37\%$ , 因此由于探针不圆度( $10\%$ )引起的误差为 $5.37\% - 3.77\% = 1.60\%$ , 这一误差在测量时是允许的, 可见探针的选择并无光学要求。

(2) 探针的扫描速度为 $V=2\pi fs$ , 由于探针作圆周运动, 当探针经过宽度为 $\omega$ 的光斑时引起s的变化 $\Delta s = \omega/2 \sin[\omega/(2s)] = 0.1\text{ mm}$ , 从而引起扫描速度的不均匀为 $0.1\%$ , 也就使

Table 1 Power on the detector in various conditions

Shape of the wire probe section	Expression of $P(\theta)$ received by detector	$\theta_1=30^\circ$	$\theta_2=33.5^\circ$
Circle ( $r=1$ mm)	$IB[r \sin(\theta + W/2/L) - r \sin \theta]$	0.00432 IB	0.00416 IB
Ellipse ( $a=1.1$ mm, $b=1$ mm)	$IB[\rho_{\theta+W/2/L} \sin(\theta + W/2/L) - \rho_\theta \sin \theta]$	0.00440 IB	0.00417 IB

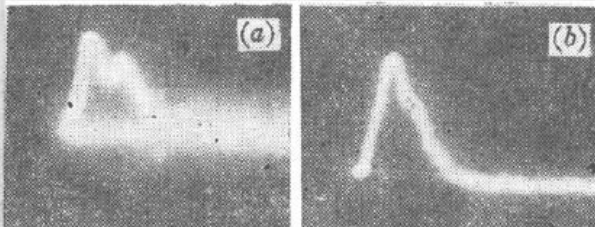


Fig. 3 Oscillogram of the CO<sub>2</sub> laser beam's far-field intensity distribution ( $t=0.1$  ms/div,  $f=1000$  mm) (a) Resonator is misaligned,  $P=2.35$  kW; (b) Resonator is aligned,  $P=2.5$  kW

探测器上接收的功率产生 0.1% 的误差, 与上述误差相比这一误差可以忽略。

## 二、结果与讨论

实验时先用 He-Ne 激光束准直光路, 使探测器上能接收到反射光; 得到信号后调节探测器使得信号幅度最大, 然后调节电动机的前后位置、左右角度及俯仰使信号脉宽最窄; 此时便可得到激光束的一维远场光强分布。

我们对工作在 2.5 kW 的 CO<sub>2</sub> 激光器的输出光束在远场进行了测量, 选用的透镜焦距为 1 m, 谐振腔失调时及准直后光强的远场分布如图 3(a), (b), 可见模式结构发生了变化, 示波器上能够很好地反映出来。从示波器的波形可知其脉宽  $\tau=0.18$  ms, 可算出远场光斑大小为 5.7 mm, 则光束的发散角为 5.7 mrad。

将探针的扫描方向旋转 90° 可得到另一维方向上的远场光强分布。

## 参 考 文 献

- 1 G. C. Lim, W. M. Steen, *Optics and Laser Technology*, June, 140~153 (1982)
- 2 I. W. Boyd, *Optics and Laser Technology*, June, 150~152 (1983)
- 3 J. Chablat, D. Gerbet, J. L. Paradis, *SPIE*, 801, 82~85 (1987)
- 4 蒋丽娟, 激光技术, 14(1), 39~44 (1990)